

## الحل العددي لمعادلة برجر باستخدام بعض طرق الفروق المنتهية في بعد واحد

<sup>٣</sup>نبية محمد أبو جاللة<sup>١</sup>، تهاني محمد سلامة<sup>٢\*</sup>، سمية محمد أبو جاللة<sup>٣</sup>

<sup>١</sup>قسم الرياضيات، كلية التربية، جامعة مصراتة، مصراتة، ليبيا

<sup>٣,٢</sup>قسم الرياضيات، كلية العلوم، جامعة مصراتة، مصراتة، ليبيا

\*[t.salam@sci.misuratau.edu.ly](mailto:t.salam@sci.misuratau.edu.ly)

تاريخ النشر: 01-10-2021

تاريخ القبول: 13-07-2021

تاريخ الاستلام: 01-07-2021

### الملخص

في هذا البحث تم اشتقاق طريقتين عدديتين لحل معادلة برجر (Burger's equation) باستخدام تقنية الفروق المنتهية (طريقة الفروق الأسيّة و طريقة فرانكل دي فورت). كذلك تم دراسة استقرار الطريقتين باستخدام تقنية Von Neumann. ولاختبار مدى فاعليّة وكفاءة الطريقتين في حل معادلة برجر تم تطبيق الطرق على مسائلتين مختلفتين.

**الكلمات المفتاحية:** معادلة برجر، طريقة الفروق المنتهية الأسيّة، طريقة دي فورت- فرانكل، الاستقرار .

### المقدمة Introduction

من المعروف أن أغلب الظواهر المشهورة التي تظهر في الفيزياء الرياضية يمكن أن توصف بالمعادلات التفاضلية على سبيل المثال ، إذ يتضح ذلك جلياً في وصف عمليات انتقال الحرارة ، وكذلك وصف معادلات الانبعاث (Diffusion Equations) اللاخطية التي تؤدي دوراً مهماً في الأنظمة الحركية ومن أشهر الأمثلة على معادلات الانبعاث اللاخطية معادلة برجر (Burger) [3]. ان معادلات الانبعاث هي مسائل قيم ابتدائية والتي تكون في حالة معتمدة على الزمن والحل لها نوع من المسائل يكون في منطقة متغيرة R التي تخضع لشروط حدودية ، وبصورة عامة انه امكانية الحصول على الحلول الفعلية لمسائل الانبعاث في الغالب تكون معددة او غير ممكنة فلذلك ظهرت عدة دراسات تهتم بالحل العددي لهذه المعادلة. حيث تم حل معادلة برجر باستخدام طريقة العناصر النهاية في [9] و [10]. كذلك تم دراسة حل معادلة برجر باستخدام طريقة الفروق المنتهية حيث [8] استخدم فروقات منتهية من الرتبة الرابعة لتقرير المشتقات الجزئية . وفي [7] تم حل المعادلة باستخدام طريقة المستقيمات حيث تم تحويل معادلة برجر مع شروط روبن الى معادلة تقاضلية عادية تم حل المعادلات الناتجة.

في هذه الورقة تم دراسة الحل العددي لمعادلة برجر مع شروط ديريشليه باستخدام طريقتين من طرق الفروق المنتهية الأولى طريقة الفروق المنتهية الأسيّة والثانية طريقة فرانكل دي فورت. كذلك تم دراسة الاستقرار لكلا الطريقتين باستخدام تقنية فان نيومان.

### اشتقاق طريقة الفروق المنتهية الأسيّة

#### Derivation of the Exponential Finite Difference Method

في هذه الورقة سنعتبر معادلة برجر على الصورة: [6]

$$\frac{\partial u}{\partial t} + u \frac{\partial u}{\partial x} = v \frac{\partial^2 u}{\partial x^2} \quad (1)$$

حيث

$$u(x, 0) = u_0(x)$$

$$u(1, t) = f_1(t), u(0, t) = f_2(t)$$

$$0 < x < 1, t > 0, v > 0$$

من أشهر الاساليب المستخدمة لحل المعادلات التفاضلية الجزئية هو تقرير المشتقات الجزئية باستخدام الفروق المنتهية. المشتقات الجزئية الاولى والثانية للدالة  $u$  بالنسبة لـ  $x, t$  تكون: (انظر [4])

$$\frac{\partial u}{\partial x} = \frac{u_{i+1}^j - u_{i-1}^j}{2h} \quad (2)$$

$$\frac{\partial^2 u}{\partial x^2} = \frac{u_{i+1}^j - 2u_i^j + u_{i-1}^j}{h^2} \quad (3)$$

$$\frac{\partial u}{\partial t} = \frac{u_i^{j+1} - u_i^{j-1}}{2k} \quad (4)$$

$$\frac{\partial u}{\partial t} = \frac{u_i^{j+1} - u_i^j}{k} \quad (5)$$

$$\frac{\partial^2 u}{\partial t^2} = \frac{u_i^{j+1} - 2u_i^j + u_i^{j-1}}{k^2} \quad (6)$$

من المعادلة (1) :

$$\frac{\partial f}{\partial u} \cdot \frac{\partial u}{\partial t} = f'(u) \left( v \frac{\partial^2 u}{\partial x^2} - u \frac{\partial u}{\partial x} \right) \quad (7)$$

وباستخدام المعادلة (5) نحصل على:

$$f \left( \frac{u_i^{j+1} - u_i^j}{k} \right) = f'(u_i^j) \left( v \left( \frac{\partial^2 u}{\partial x^2} \right)_i^j - u_i^j \left( \frac{\partial u}{\partial x} \right)_i^j \right) \quad (8)$$

$$f(u_i^{j+1}) = f(u_i^j) + kf'(u_i^j) \left( v \left( \frac{\partial^2 u}{\partial x^2} \right)_i^j - u_i^j \left( \frac{\partial u}{\partial x} \right)_i^j \right)$$

وبفرض أن  $f(u) = \ln u$  نحصل على:

$$u_i^{j+1} = u_i^j \exp \left\{ \frac{k}{u_i^j} \left( v \left( \frac{\partial^2 u}{\partial x^2} \right)_i^j - u_i^j \left( \frac{\partial u}{\partial x} \right)_i^j \right) \right\} \quad (9)$$

وباستخدام الفروق المركزية للمشتقات  $u_{xx}$ ,  $u_x$  الممثلة بالمعادلات (2)، (3) وتعويضها في المعادلة (9) نحصل على:

$$u_i^{j+1} = u_i^j \exp \left\{ \frac{1}{u_i^j} \{ vr(u_{i+1}^j - 2u_i^j + u_{i-1}^j) \} - \frac{rh}{2}(u_{i+1}^j - u_{i-1}^j) \right\} \quad (10)$$

حيث  $r = \frac{k}{h^2}$

### تحليل الاستقرار لطريقة الفروق المنتهية الأسية

#### Stability Analysis of Exponential Finite Difference Method

لدراسة استقرار هذه الطريقة نستخدم اسلوب فان نيومان حيث يتم استبدال الحل  $u_i^j$  بالصيغة  $\psi(t)e^{i\beta x}$  في المعادلة (9) حيث  $\beta$  هو عدد موجب  $.[5]. I = \sqrt{-1}$ .

$$\begin{aligned} & \psi(t+k)e^{i\beta x} \\ &= \psi(t)e^{i\beta x} \exp \left\{ \frac{k}{\psi(t)e^{i\beta x}} \left( v \left( \frac{\psi(t)e^{i\beta(x+h)} - 2\psi(t)e^{i\beta x} + \psi(t)e^{i\beta(x-h)}}{h^2} \right) \right. \right. \\ & \quad \left. \left. - \psi(t)e^{i\beta x} \left( \frac{\psi(t)e^{i\beta(x+h)} - \psi(t)e^{i\beta(x-h)}}{2h} \right) \right) \right\} \\ & \psi(t+k) = \psi(t) \exp \left\{ \frac{vk(e^{i\beta h} - 2 + e^{-i\beta h})}{h^2} - \frac{k\psi(t)e^{i\beta x}(e^{i\beta h} - e^{-i\beta h})}{2h} \right\} \end{aligned}$$

$$\frac{\psi(t+k)}{\psi(t)} = \exp \left\{ \frac{vk(2 \cos(\beta h) - 2)}{h^2} - \frac{k}{2h} \psi(t) e^{i\beta x} (2i \sin(\beta h)) \right\}$$

وبمأن الجزء الحقيقي هو الذي يؤدي إلى الاستقرارية لذلك نهمل الجزء التخييلي فنحصل على:

$$\frac{\psi(t+k)}{\psi(t)} = \exp \left\{ \frac{-2vk}{h^2} (1 - \cos(\beta h)) \right\}$$

$$\frac{\psi(t+k)}{\psi(t)} = \exp \left\{ -4rv \sin^2 \left( \frac{\beta h}{2} \right) \right\}$$

اي انه تكون الطريقة مستقرة اذا تحقق الشرط:

$$\left| \frac{\psi(t+k)}{\psi(t)} \right| = |\xi| \leq 1$$

وبما أن  $\xi$  هو عدد مركب عليه فإن

$$|\xi| = e^A \leq 1$$

وبما أن  $0 \leq A$  إذا الطريقة مستقرة بدون شرط.

### اشتقاق طريقة فرانكل دي فورت

#### Derivation of Du fort-Frankel Method

بالتعويض عن المشتقات الجزئية لـ  $x$ , المتمثلة بالمعادلات (4)،(3)،(2) في المعادلة (1) نحصل على:

$$\frac{u_i^{j+1} - u_i^{j-1}}{2k} = v \left( \frac{u_{i+1}^j - 2u_i^j + u_{i-1}^j}{h^2} \right) - u_i^j \left( \frac{u_{i+1}^j - u_{i-1}^j}{2h} \right)$$

بنكذا نحصل على

$$u_i^{j+1} = u_i^{j-1} + 2vr(u_{i+1}^j - 2u_i^j + u_{i-1}^j) - rhu_i^j(u_{i+1}^j - u_{i-1}^j)$$

$$r = \frac{k}{h^2}$$

### دراسة الاستقرار لطريقة فرانكل دي فورت

#### Stability Analysis of Du fort-Frankel Method

بنفس الاسلوب المتبوع في دراسة الاستقرار للطريقة السابقة نحصل على:

$$\begin{aligned} \psi(t+k)e^{i\beta x} &= \psi(t-k)e^{i\beta x} + 2vr(\psi(t)e^{i\beta(x+h)} - 2\psi(t)e^{i\beta x} + \psi(t)e^{i\beta(x-h)}) \\ &\quad - rh\psi(t)e^{i\beta x}(\psi(t)e^{i\beta(x+h)} - \psi(t)e^{i\beta(x-h)}) \end{aligned}$$

بنكذا

$$\begin{aligned} \psi(t+k) &= \psi(t-k) + 2vr(\psi(t)e^{i\beta h} - 2\psi(t) + \psi(t)e^{-i\beta h}) \\ &\quad - rh\psi(t)\psi(t)e^{i\beta x}(2is\in(\beta h)) \end{aligned}$$

بحذف الجزء التخيلي نحصل على:

$$\begin{aligned} \psi(t+k) &= \psi(t-k) + 2vr\psi(t)(2\cos(\beta h)) - 2 \\ &= \psi(t-k) - 8vr\psi(t)\sin^2\left(\frac{\beta h}{2}\right) \end{aligned}$$

اي ان الطريقة تكون مستقرة اذا تتحقق الشرط

$$\left| \frac{\psi(t+k) - \psi(t-k)}{\psi(t)} \right| \leq |\xi| \leq 1 \quad (11)$$

$$|-8rv| \leq 1$$

$$|8rv| \leq 1$$

$$-1 \leq 8rv \leq 1$$

حيث  $r \geq 0$  اي ان

$$8rv \leq 1 \Rightarrow r \leq \frac{1}{8v}$$

اي ان طريقة فرانكل دي فورت تكون مستقرة عندما

### Numerical Results

لاظهار مدى كفاءة وفاعلية الطرق التي تم اشتقاقها في هذا البحث، تم تطبيق الطرق على مسائلتين مختلفتين.

### مسالة 1:

$$\frac{\partial u}{\partial t} + u \frac{\partial u}{\partial x} = v \frac{\partial^2 u}{\partial x^2}; \quad 0 < x < \frac{1}{2}, \quad t > 0, \quad v = 1; \quad u(x, 0) = \frac{1}{1 + e^{\frac{x}{2v}}}; \quad u(0, t) = \frac{1}{1 + e^{-\frac{t}{4v}}}; \quad u\left(\frac{1}{2}, t\right) = \frac{1}{1 + e^{\frac{1}{4v} - \frac{t}{4v}}};$$

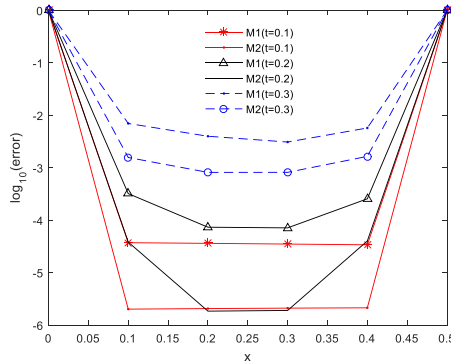
الحل الفعلي:

$$u(x, t) = \frac{1}{1 + e^{\frac{x-t}{4v}}}; \quad h = 0.1, \Delta t = 0.1.$$

[ انظر المرجع 7]

جدول (1) مقارنة النتائج العددية للمسألة 1 المتحصل عليها من الطريقتين M1 ( طريقة الفروق المتنحية الاسية ) ، M2 ( طريقة دي فورت فرانكل ) مع الحل الفعلي (Exact solution) عندما  $v = 1$ .

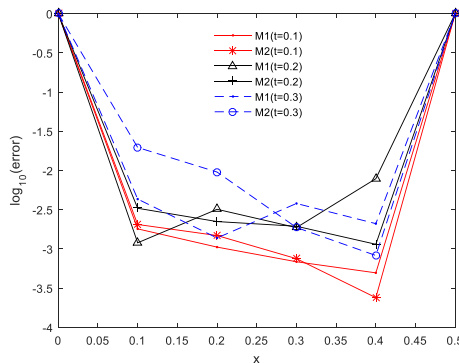
$x_i$	$t_i$	M1	M2	Exact
0.1	0.1	0.493787535999616	0.493748312840772	0.493750325500490
	0.2	0.499678931274720	0.500038235131375	0.5000000000000000
	0.3	0.513242182122509	0.504681314836676	0.506249674499510
0.2	0.1	0.481294933201678	0.481256721340044	0.481258784121465
	0.2	0.487576076703339	0.487500760183329	0.487502603515790
	0.3	0.489764233001807	0.494566230529945	0.493750325500490
0.3	0.1	0.468825680738970	0.468788523913197	0.468790626626244
	0.2	0.475092151952703	0.475018913786022	0.475020812521060
	0.3	0.478167156792947	0.482075929012050	0.481258784121465
0.4	0.1	0.456395243670260	0.456359180368790	0.456361312762921
	0.2	0.462314661822462	0.462610264840592	0.462570154656250
	0.3	0.474523250374340	0.467144128001326	0.468790626626244



شكل(1) يوضح مقدار الخطأ الناتج من حل مسالة 1 باستخدام الطريقتين M1, M2 عندما  $v = 1$   $t=0.1, 0.2, 0.3, n = 1$

**جدول (2)** مقارنة النتائج العددية للمسألة 1 المتحصل عليها من الطريقيتين M1 ( طريقة الفروق المتباعدة الاسية) ، M2 (.  $v = 0.1$ ) مع الحل الفعلي (Exact solution) عندما (Exact solution) .

$x_i$	$t_i$	M1	M2	Exact
0.1	0.1	0.4396236776222906	0.4357754786795365	0.4378234991142019
	0.2	0.5011962288538906	0.5032961115560017	0.5000000000000000
	0.3	0.5664942125610779	0.5425190310861641	0.5621765008857981
0.2	0.1	0.3218750035581752	0.3193413829792363	0.3208213008246070
	0.2	0.3807397355194106	0.3753100259632955	0.3775406687981454
	0.3	0.4392015637794504	0.4473729750232903	0.4378234991142018
0.3	0.1	0.2233852491447040	0.22194991376800360	0.2227001388253088
	0.2	0.2708105319321334	0.2669970289852506	0.2689414213699951
	0.3	0.3246150873854245	0.3189489997857115	0.3208213008246071
0.4	0.1	0.1485419515966825	0.1478083232371602	0.1480471980316895
	0.2	0.1832114302686853	0.11812809864760861	0.1824255238063563
	0.3	0.2247989008466272	0.22218765408531808	0.2227001388253088



شكل(2) يوضح مقدار الخطأ الناتج من حل مسألة 1 باستخدام الطريقيتين M1, M2 عندما  $t=0.1, 0.2, 0.3, v = 0.1$  .

مسألة 2:

$$\frac{\partial u}{\partial t} + u \frac{\partial u}{\partial x} = v \frac{\partial^2 u}{\partial x^2}; \quad 0 < x < 1, t > 0, v = 1; \quad u(x, 0) = 4x(1-x); \quad u(0, t) = u(1, t) = 0;$$

الحل الفعلي:

$$u(x, t) = \frac{2\pi v \sum_{n=1}^{\infty} n d_n \sin(n\pi x) \exp(-n^2\pi^2 vt)}{d_0 + \sum_{n=1}^{\infty} d_n \cos(n\pi x) \exp(-n^2\pi^2 vt)}$$

حيث

$$d_0 = \int_0^1 \exp(-x^2(3v)^{-1}(3-2x)) dx, h = 0.25, \quad \Delta t = 0.001.$$

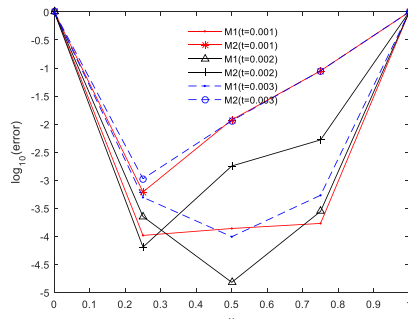
$$d_n = 2 \int_0^1 \exp(-x^2(3v)^{-1}(3-2x)) \cos(n\pi x) dx; n = 1, 2, 3, \dots, N$$

حيث تم اختيار  $N=10, 60$

. [ 8] المرجع .

**جدول (3) مقارنة النتائج العددية للمسألة 2 المتحصل عليها من الطريقيتين M1 ( طريقة الفروق المنتهية الاسية ) ، M2 (طريقة دي فورت فرانكل) مع الحل الفعلي (Exact solution) عندما  $N = 10, v = 1$**

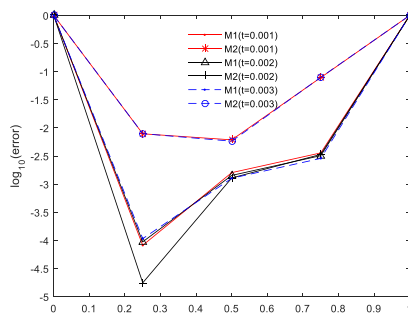
$x_i$	$t_i$	M1	M2	Exact
0.25	0.001	0.740559913432	0.75547425130	0.7404561751
	0.002	0.731323274215	0.99467542340	0.7310985651
	0.003	0.722282879621	0.66861605150	0.7217874373
0.5	0.001	0.992031914837	0.74534211946	0.9921698356
	0.002	0.98405862720	0.99853674912	0.9840434860
	0.003	0.976084786862	0.75156404244	0.9759864381
0.75	0.001	0.7435280854	0.75092237334	0.7433583432
	0.002	0.73711075863	0.99305003664	0.7368326081
	0.003	0.730746506615	0.67000321648	0.7302078261



شكل(3) يوضح مقدار الخطأ الناتج من حل مسألة 2 باستخدام الطريقيتين M1, M2 عندما  $t=0.001, 0.002, 0.003, v=1$  M1, M2

**جدول (4) مقارنة النتائج العددية للمسألة 2 المتحصل عليها من الطريقيتين M1 ( طريقة الفروق المنتهية الاسية ) ، M2 (طريقة دي فورت فرانكل) مع الحل الفعلي (Exact solution) عندما  $N = 60, v = 0.1$**

$x_i$	$t_i$	M1	M2	Exact
0.25	0.001	0.74770352306	0.75547425130	0.7476216483
	0.002	0.74541887865	0.745342119463	0.7453244913
	0.003	0.74314599745	0.750922373344	0.7430385145
0.5	0.001	0.99920031991	0.99467542339	1.000802996
	0.002	0.998394661213	0.99853674912	0.9998250246
	0.003	0.97583096550	0.99305003664	0.9988559539
0.75	0.001	0.750700326768	0.668616051499	0.7471080023
	0.002	0.751397329620	0.75156404244	0.7481878827
	0.003	0.752090991773	0.67000321648	0.7492214064



شكل(4) يوضح مقدار الخطأ الناتج من حل مسألة 2 باستخدام الطريقيتين M1, M2 عندما  $t=0.001, 0.002, 0.003, v=0.1$  M1, M2

### الخلاصة

في هذه الورقة تم حل معادلة برجر باستخدام طريقة الفروقات الأسيّة وطريقة دي فورت فرانكل. وكذلك تم دراسة استقرار الطريقيتين باستخدام طريقة فان نيومان وكانت طريقة الفروقات الأسيّة مستقرة بدون شرط بينما الطريقة الثانية مستقرة بصورة مشروطة والشرط هو  $\frac{1}{8v} \leq r \leq 0$ . من خلال النتائج العدديّة المتحصل عليها أظهرت النتائج مدى كفاءة الطريقيتين في حل معادلة برجر من خلال اخذ قيم مختلفة  $v$ .

### المراجع References

- 1) Logan, J.D. (1994). An Introduction to Nonlinear partial Differential Equation , John wiley, New York.
- 2) Duffy, D.J. (2006). Finite Differential Equation Approach, England, The Atrium, Southern Gate, chi-chester,West Sussex po198 SQ, John wiley & Sons ltd.
- 3) Leonenko, N.N. and Melnikov (2001). Renormalization and Homogenization of the solutions of heat equation with linear potential and related Burgers equation with random data, Theory probab & Math. Statistics 1, pp.27-64.
- 4) Mitchell, A.R. and Griffiths, D.F. (1980). The Finite Difference Method In partial Differential Equation, John wiley & Sons. Chichester. New York 515-353.QA37479, 40626.
- 5) Handschuh, R.F., Theo, G. K. (1988). Applications of an Exponential Finite Difference Technique, NASA, Technical Memorandum 100939, AVSCOM, Technical Memorandum 88-c-004.
- 6) Wany X.Y, Z.S.Zhus and Y.K.LU. (1990). Solitary wave solution of the Generalized Burgers-Huxley Equation, phys.A: Math.Gen.23, pp. 271-274.
- 7) Biazar,J., Ayati, Z. and Shahbazi, S. (2014). Solution of the Burgers Equation by the Method of Lines, American Journal of Numerical Analysis, Vol. 2, No. 1, 1-3.
- 8) Biazar,J., Ayati, Z., Shahbazi, S., Hassanien, I.A., Salama ,A.A. and Hosham, H.A.(2005). Fourth-order finite difference method for solving Burgers' equation, Applied Mathematics and Computation 170, 781-800.
- 9) Atoulli, J.A and King, B.B. (2000). Stabilized Finite Element Methods and Feed back control for Burger Equation, American control conference, pp. 25-31.
- 10) Kakuda, K. and Tosaka, N. (1990). The generalized boundary element approach to burger's equation, International J. for Numerical Methods in Engineering, Vol. 29,pp. 245-261.



## Some Finite Difference Methods for Numerical Solution Burger's Equation in One Dimension

Najia M. Abujalala<sup>1</sup>, T.S. Mohamed<sup>2\*</sup> and Sumaia M. Abujalala<sup>3</sup>

<sup>1</sup>Mathimatics Department, Faculty of Education, Misurata University, Misurata, Libya

<sup>2,3</sup>Mathimatics Department, Faculty of Sciences, Misurata University, Misurata, Libya

\*E-mail: t.salama06@gmail.com

---

### Abstract:

In this study, we present two finite differences methods for the solution Burger's equation. The stability analysis of the two methods by using Von Neumann technique has been done. Numerical results for two different test problems are given.

**Keywords:** Burger's equation, Exponential finite difference method, Du fort-Frankel method, Numerical stability.

---